### 木犀草素磷脂复合物介孔二氧化硅纳米粒的制备、表征和药动学研究

房 伟1, 王彦阁2, 王奎鹏1, 决利利2\*

- 1. 河南中医药大学第一附属医院,河南 郑州 450000
- 2. 郑州工业应用技术学院,河南 郑州 451100

摘 要:目的 制备木犀草素磷脂复合物介孔二氧化硅纳米粒(Lut-PC-MSNs),并进行药动学评价。方法 采用溶剂挥发 法制备 Lut-PC-MSNs。以包封率、载药量、粒径和 Zeta 电位为指标,选择 MSNs 粉末与 Lut-PC 用量比、木犀草素质量浓度 和搅拌时间为主要影响因素,Box-Behnken 设计-效应面法筛选 Lut-PC-MSNs 最优处方。进行 Lut-PC-MSNs 样品表征,考察 Lut-PC-MSNs 在模拟胃肠液中的释药行为。SD 大鼠 ig 给予 Lut-PC-MSNs(以木犀草素计 40 mg/kg),测定血药浓度,计算主要药动学参数和相对生物利用度。结果 Lut-PC-MSNs 最佳处方工艺为: MSNs 粉末与 Lut-PC 用量比为 1.45:1.0,木犀草素质量浓度为 1.1 mg/mL,搅拌时间为 8.25 h。Lut-PC-MSNs 粉末分散于纯化水后即可形成外观均一的混悬液。木犀草素在 Lut-PC-MSNs 以无定形状态存在。Lut-PC-MSNs 在模拟胃肠液中累积释放度明显增加,释药行为符合 Weibull 模型。Lut-PC-MSNs 药动学行为发生很大变化,口服吸收生物利用度提高至 5.24 倍。结论 Lut-PC-MSNs 处方简单,贮存稳定性好,显著增加了木犀草素口服吸收生物利用度。

关键词:木犀草素磷脂复合物介孔二氧化硅纳米粒,木犀草素,包封率,载药量,药动学,生物利用度

中图分类号: R943; R969.1 文献标志码: A 文章编号: 1674 - 5515(2025)02 - 0330 - 11

DOI: 10.7501/j.issn.1674-5515.2025.02.009

# Luteolin phospholipids complex mesoporous silica nanoparticles: Preparation, characterization and pharmacokinetics study

FANG Wei<sup>1</sup>, WANG Yange<sup>2</sup>, WANG Kuipeng<sup>1</sup>, JUE Lili<sup>2</sup>

- 1. The First Affiliated Hospital of Henan University of Traditional Chinese Medicine, Zhengzhou 450000, China
- 2. Zhengzhou University of Industrial Technology, Zhengzhou 451100, China

Abstract: Objective To prepare luteolin phospholipids complex mesoporous silica nanoparticles (Lut-PC-MSNs), and evaluate bioavailability. Methods Solvent evaporation method was employed to prepare Lut-PC-MSNs. Entrapment efficiency, drug loading, particle size, and Zeta potential were selected as indexes, MSNs powder to Lut-PC dosage ratio, luteolin concentration, and stirring time were selected as main influencing factors, and Box-Behnken design-response surface methodology was used to screen the optimal prescription of Lut-PC-MSNs. Lut-PC-MSNs samples were characterized, and release behavior in simulate gastrointestinal fluid were also investigated. SD rats were ig administered with Lut-PC-MSNs (calculated by luteolin, 40 mg/kg), its main pharmacokinetic parameters and relative bioavailability were calculated. Results Optimal formulation of Lut-PC-MSNs: dosage ratio of MSNs powder to Lut-PC was 1.45: 1.0, luteolin concentration was 1.1 mg/mL, and stirring time was 8.25 h. Lut-PC-MSNs powder could be dispersed in purified water to form a homogeneous suspension with a uniform appearance. Luteolin existed as an amorphous state in Lut-PC-MSNs powder, cumulative release rate in simulate gastrointestinal fluid was obviously increased, and drug release behavior accorded with Weibull model. The pharmacokinetic behavior of Lut-PC-MSNs underwent significant changes, and oral bioavailability was increased to 5.24-fold. Conclusion Prescription of Lut-PC-MSNs is simple with its good storage stability, and can significantly increase the bioavailability of luteolin.

**Key words:** luteolin phospholipids complex mesoporous silica nanoparticles; luteolin; entrapment efficiency; drug loading; pharmacokinetics; bioavailability

收稿日期: 2024-09-04

基金项目:河南省高等学校重点科研项目计划(23B310010)

作者简介:房 伟 (1980—),副主任药师,硕士,研究方向为医院药学。E-mail: fw96906@126.com

<sup>\*</sup>通信作者: 决利利 (1984—), 女, 副教授, 硕士, 主要从事药动学、解剖学研究。E-mail: 147374991@qq.com

现代药物与临床

木犀草素属于多羟基黄酮类化合物,广泛存在 于伞形科、天南星科、十字花科植物中[1]。药理学 研究结果显示木犀草素具有抗肿瘤、抗氧化、抗菌 消炎、调血糖、心脑血管保护、抗过敏等活性[1-3], 且不良反应小[4]。本课题组测得木犀草素在水中溶 解度仅为(78.64±0.26)µg/mL,导致药物溶出困难, 油水分配系数仅(0.73±0.06),属于生物药剂学分 类系统 (BCS) IV 类药物,与文献报道基本一致<sup>[5]</sup>。 木犀草素在体内易受 pH 值、胃蛋白酶、胰蛋白酶 等影响[6], 导致降解严重, 首关效应明显, 大鼠 ig 给予不同剂量木犀草素后口服生物利用度仅 3.87%~5.57%,严重影响了药效[7]。木犀草素纳米 制剂目前报道的有纳米乳[8]、固体脂质纳米粒[9]、纳 米结构脂质载体[10]、固体分散体[11],但纳米制剂存 在稳定性差、大量使用表面活性剂、制备工艺繁琐 等缺陷; 固体分散体贮存时易吸潮, 在体内药物易 发生析晶现象,影响了促吸收作用。

磷脂复合物 (PC) 对药物水溶性和脂溶性均有 明显的改善作用[12],适用于 BCS IV 类药物的生物 利用度提高。但磷脂复合物存在黏性大、溶出度低 等缺陷,极大影响了成药性评价。介孔二氧化硅纳 米粒 (MSNs) 孔径一般在 10~50 nm, 具有稳定性 高、制备工艺简单、辅料种类少等优势[13-14], 无需 冻干保护剂即可制成粉末, 可极大提高药物溶解度 和溶出度,促进口服吸收,并增强药效,在新型纳 米制剂研究中颇受关注。介孔二氧化硅纳米粒可有 效解决磷脂复合物自身的各种缺陷,目前磷脂复合 物和介孔二氧化硅纳米粒联合使用的报道较少[14]。 本研究制备木犀草素磷脂复合物(Lut-PC),采用介 孔二氧化硅纳米粒为载体,进一步制备成木犀草素 磷脂复合物二氧化硅纳米粒(Lut-PC-MSNs),考察 Lut-PC-MSNs 晶型状态、模拟胃肠液中的释药行 为、贮存稳定性等,并以木犀草素原料药为参考, 比较 Lut-PC-MSNs 药动学行为和生物利用度,期望 为木犀草素口服制剂开发提供策略。

#### 1 材料

1200型高效液相色谱仪器(美国 Agilent 公司); ATX224R 型电子天平(日本岛津仪器公司); KQ-700TDV 型超声仪(昆山市超声仪器有限公司); Neofuge-13型高速离心机(上海力康医疗设备有限公司); BX-2F型磁力搅拌器(常州普天仪器制造有限公司); Nano-ZS90型粒度分析仪(英国马尔文公司); TTL-DCII型氮吹仪(北京同泰联科技发展有

限公司);APD 2000型 X 射线粉末衍射仪(北京利曼科技有限公司);860DL型溶出仪(上海景宁科学仪器有限公司);HZQ-2型数显恒温摇床(常州迈科诺仪器有限公司);SW-CJ型超净工作台(青岛聚创环保集团有限公司)等。

木犀草素对照品(批号111520-201605,质量分数99.6%,中国食品药品检定研究院);木犀草素原料药(批号220523,质量分数98.0%,西安融升科技有限公司);黄芩素对照品(批号20220915,质量分数98.0%,南京欣厚生物科技有限公司);二氧化硅纳米粒(批号221124,宁波博华斯纳米科技有限公司);磷脂(批号221028,广州天宝磷脂科技有限公司);模拟胃液(批号220102,含胃蛋白酶)、模拟肠液(批号220102,含胰蛋白酶),上海起发实验试剂有限公司。

SD 大鼠购自河南省实验动物中心,雄性,体质量 18~22 g,许可证号为 SCXK(豫)2020-001。动物实验经郑州工业应用技术学院医学院实验动物伦理批准,编号为202301。

#### 2 方法与结果

#### 2.1 Lut-PC-MSNs 制备

**2.1.1** Lut-PC 的制备<sup>[6]</sup> 取干燥的木犀草素 2.1 g 和磷脂 6.0 g,置于锥形瓶,加入 200 mL 四氢呋喃后密封,置于 55 °C恒温水浴中持续磁力搅拌 3 h,搅拌速度为 600 r/min,于 55 °C温度下旋转蒸发除去四氢呋喃,即得 Lut-PC。置于 30 °C真空干燥箱中过夜,收集 Lut-PC,密封,置于干燥器中。

2.1.2 Lut-PC-MSNs 制备 采用溶剂挥发法制备 Lut-PC-MSNs。取 50 mg Lut-PC 和处方量的 MSNs 粉末,置于圆底烧瓶,加入一定体积无水乙醇,置于 55 ℃水浴中,在搅拌速度为 600 r/min 条件下磁力搅拌一定时间。于 55 ℃温度下旋转蒸发除去乙醇,即得 Lut-PC-MSNs 粉末。

#### 2.2 HPLC 法测定木犀草素

**2.2.1** 色谱条件 Waters C<sub>18</sub> 色谱柱(250 mm×4.6 mm, 5 μm),流动相为 0.2%磷酸水溶液 - 甲醇(50:50), 检测波长为 350 nm, 柱温为 35 ℃, 体积流量为 1.0 mL/min。

2.2.2 标准曲线和线性范围 使用甲醇配制 0.2 mg/mL 木犀草素对照品储备液。以甲醇稀释成  $10.00 \times 5.00 \times 2.00 \times 1.00 \times 0.20 \times 0.05 \, \mu g/mL 木犀草素对照品溶液。进样测定木犀草素各质量浓度的峰面积值,进行线性回归,得方程 <math>A=19.255$  4 C+

0.234 1, r=0.999 8.

2.2.3 供试品溶液的制备 精密取 Lut-PC-MSNs 粉末 10 mg,置三角瓶中,加入甲醇约 30 mL 超声 10 min,置于离心机中 14 500 r/min 离心 30 min,移出提取液后同法再提取 2 次,将提取液合并至 100 mL 量瓶,加甲醇至刻度。取 2 mL 置 10 mL 量瓶,加甲醇至刻度,即得。

**2.2.4** 精密度试验 取 10.00、2.00、0.05 μg/mL 木犀草素对照品溶液,分别进样 6 次,测定峰面积值,计算得峰面积 RSD 值分别为 0.42%、0.30%、0.38%。

**2.2.5** 稳定性试验 取 Lut-PC-MSNs 供试品溶液,于 0、2、4、8、12、24 h 进样测定,测得木犀草素质量分数的 RSD 值为 0.78%。

**2.2.6** 重复性试验 取 Lut-PC-MSNs 平行配制 6 份 供试品溶液, 计算得木犀草素质量分数 RSD 值为 1.43%。

2.2.7 回收率试验 精密取 5 mg Lut-PC-MSNs 粉末,共9份,分为3组,分别加入0.2 mg/mL 木犀草素对照品储备液6.0、8.0、10.0 mL,制备供试品溶液,进样测定,计算得平均回收率为99.79%,RSD值为1.79%。

2.2.8 测定计算方法 取 Lut-PC-MSNs 粉末约 10 mg,加入 50 mL 蒸馏水摇匀,即得混悬液,0.45 μm 微孔滤膜滤过,14 500 r/min 离心 10 min,弃去上清液,于沉淀中加入 0.5% SDS 水溶液 5 mL,震荡洗涤,再次 14 500 r/min 离心 10 min,弃去上清液后直接冻干,采用外标法计算木犀草素的质量分数。

#### 2.3 包封率、载药量、粒径、Zeta 电位测定

取 Lut-PC-MSNs 粉末,测定被包封木犀草素质量( $M_{\rm flat}$ ),与木犀草素投药量( $M_{\rm flat}$ )相比,计算 Lut-PC-MSNs 包封率。根据木犀草素、磷脂和空白 MSNs 粉末总用量( $M_{\rm flat}$ )计算载药量。

包封率=M 包封/M 投药量

载药量=M 包封/M 总

使用蒸馏水将 Lut-PC-MSNs 混悬液稀释 50 倍, 于粒度分析仪上分别测定粒径、多分散指数 (PDI)、 Zeta 电位,各样品平行测试 3 次,取平均值。

#### 2.4 Lut-PC-MSNs 处方工艺单因素考察

2.4.1 MSNs 粉末与 Lut-PC 用量比的影响 在 Lut-PC 投药量为 50 mg、木犀草素质量浓度为 1 mg/mL、搅拌时间 8 h 条件下考察 MSNs 粉末与 Lut-PC 用量比的影响,结果见表 1。随着 MSNs 粉末用量的增加,Lut-PC-MSNs 包封率逐渐增加后趋稳,而载药量呈先增加后下降,表明增加适当 MSNs 用量利于提高 Lut-PC-MSNs 包封率,但 MSNs 用量过大时使Lut-PC-MSNs 载药量下降。Lut-PC-MSNs 粒径随着MSNs 用量的增加总体呈现增大趋势,可能是 MSNs 用量过大时导致 Lut-PC-MSNs 之间聚集,从而使粒径和 PDI 值减少[6]。可见 MSNs 粉末与 Lut-PC 比例对 Lut-PC-MSNs 的包封率、载药量、粒径影响较大,后续选择 MSNs 与 Lut-PC 用量比 1:1~2:1 进行优化。

2.4.2 木犀草素质量浓度的影响 在 Lut-PC 投药量为 50 mg、MSNs 与 Lut-PC 比例为 1.5:1.0、搅拌时间 8 h 条件下考察木犀草素质量浓度的影响,结果见表 2。Lut-PC-MSNs 包封率和载药量随着木犀草素质量浓度增加均先增加后趋稳,可能是药物主要在质量浓度驱动力作用下进入 MSNs 内部[12],质量浓度越大越利于 MSNs 对 Lut-PC 吸附。但木犀草素质量浓度过大时无水乙醇体积较小,从而使Lut-PC-MSNs 之间聚集,导致粒径和 PDI 值变大。可见木犀草素质量浓度对 Lut-PC-MSNs 的包封率、载药量、粒径等影响较大,后续选择木犀草素质量浓度 0.5~1.5 mg/mL 进行优化。

表 1 MSNs 与 Lut-PC 用量比考察(n=3) Table 1 Investigation of MSNs to luteolin ratio (n=3)

	O		` ,		
MSNs 与 Lut-PC 用量比	包封率/%	载药量/%	粒径/nm	PDI 值	
 1.0:2.0	$32.16 \pm 1.15$	$5.15 \pm 0.22$	$166.71 \pm 8.61$	$0.559 \pm 0.062$	
1.0:1.5	$42.98 \pm 1.62$	$6.12 \pm 0.14$	$164.20 \pm 7.15$	$0.413 \pm 0.036$	
1.0:1.0	$66.62 \pm 0.96$	$8.29 \pm 0.23$	$172.87 \pm 6.97$	$0.238 \pm 0.020$	
1.5:1.0	$82.85 \pm 1.24$	$8.13 \pm 0.21$	$188.94 \pm 5.45$	$0.121 \pm 0.017$	
2.0:1.0	$88.84 \pm 0.94$	$7.30 \pm 0.26$	$229.71 \pm 9.28$	$0.166 \pm 0.013$	
2.5:1.0	$89.06 \pm 1.21$	$6.57 \pm 0.19$	$256.35 \pm 13.74$	$0.190\pm0.021$	

表 2 木犀草素质量浓度考察(n=3)

Table 2 Investigation of luteolin concentration (n=3)

木犀草素质量浓度/(mg·mL <sup>-1</sup> )	包封率/%	载药量/%	粒径/nm	PDI 值
0.2	$71.76 \pm 1.08$	$70.11 \pm 0.32$	$178.45 \pm 7.64$	$0.129 \pm 0.014$
0.5	$74.63 \pm 0.99$	$73.94 \pm 0.28$	$171.73 \pm 6.77$	$0.117 \pm 0.018$
1.0	$83.50 \pm 1.32$	$84.51 \pm 0.21$	$184.92 \pm 8.05$	$0.123 \pm 0.018$
1.5	$86.17 \pm 0.95$	$85.96 \pm 0.21$	$224.79 \pm 10.68$	$0.173 \pm 0.020$
2.0	$86.43 \pm 0.99$	$86.58 \pm 0.19$	$269.81 \pm 13.24$	$0.209 \pm 0.027$

2.4.3 搅拌时间的影响 在 Lut-PC 投药量为 50 mg、MSNs 与 Lut-PC 比例为 1.5:1.0、木犀草素质量浓度为 1.0 mg/mL 条件下考察搅拌时间的影响,结果见表 3。Lut-PC-MSNs 包封率和载药量随着搅拌时间的延长均先增加后下降,可能是由于适当增加搅拌时间利于 Lut-PC 吸附到 MSNs 的纳米孔道内部,因而包封率和载药量逐渐增加。木犀草素的

热稳定性比较差<sup>[5]</sup>,搅拌时间过长,温度升高,可能会导致药物的降解,影响了包封率和载药量;搅拌时间较短时 Lut-PC 并未进入 MSNs 孔道内部,主要附着在 MSNs 表面,因而粒径和 PDI 值均较大。可见搅拌时间对 Lut-PC-MSNs 的包封率、载药量和粒径影响较大,后续选择搅拌时间 6~10 h 进行优化。

表 3 搅拌时间考察(n=3)

Table 3 Investigation of stirring time (n=3)

搅拌时间/h	包封率/%	载药量/%	粒径/nm	PDI 值
4	$71.69 \pm 1.30$	$7.21 \pm 0.22$	$221.17 \pm 9.56$	$0.167 \pm 0.018$
6	$77.29 \pm 1.14$	$7.60 \pm 0.21$	$208.64 \pm 11.58$	$0.136 \pm 0.010$
8	$84.73 \pm 0.96$	$8.37 \pm 0.17$	$175.94 \pm 8.42$	$0.115 \pm 0.014$
10	$80.52 \pm 1.31$	$7.96 \pm 0.24$	$170.81 \pm 6.07$	$0.120 \pm 0.016$
12	$70.69 \pm 0.97$	$7.07 \pm 0.13$	$172.64 \pm 6.73$	$0.123 \pm 0.011$

## **2.5 Box-Behnken** 设计-效应面法优化 Lut-PC-MSNs 处方工艺

2.5.1 试验方案 据 2.4 项下考察结果,MSNs 与 Lut-PC 用量比  $(X_1)$ 、木犀草素质量浓度  $(X_2)$  和搅拌时间  $(X_3)$  对 Lut-PC-MSNs 影响较大,各因素水平见表 4。采用 Lut-PC-MSNs 包封率  $(Y_1)$ 、载药量  $(Y_2)$  和粒径  $(Y_3)$  作为优化指标,期望 Lut-PC-MSNs 具有较高包封率和载药量,且较小的粒径,故将该 3 个指标转变为归一值 (OD),采用 OD 来筛选 Lut-PC-MSNs 处方工艺。OD 值计算过程为:包封率  $(d_1)$  和载药量  $(d_2)$  计算公式为  $d_1$  或  $d_2$  =  $(M_i - M_{min})$  /  $(M_{max} - M_{min})$ , $M_i$ 、 $M_{max}$ 、 $M_{min}$  分别为实测值、最大值、最小值;粒径  $(d_3)$  计算公式  $d_3$  =  $(M_{max} - M_i)$  /  $(M_{max} - M_{min})$ ;  $OD = (d_1 d_2 d_3)^{1/3}$ 。按不同处方工艺组合制备不同处方工艺的 Lut-PC-MSNs,分别测定包封率、载药量和粒径,并计算 OD 值,结果见表 5。

表 4 因素水平 Table 4 Factors and levels

水平 -	因素				
八十一	$X_1$	$X_2/(\text{mg}\cdot\text{mL}^{-1})$	$X_3/h$		
-1	1.0:1.0	0.5	6		
0	1.5:1.0	1.0	8		
1	2.0:1.0	1.5	10		

2.5.2 数学模型和方差分析 使用 Design Expert 软件(版本为 V12.0.7)对实验数据作二次多项式拟合,得 OD 拟合方程: OD= $0.88-0.077~X_1+0.053~X_2+0.048~X_3-0.22~X_1X_2+0.044~X_1X_3+0.085~X_2X_3-0.39~X_1^2-0.27~X_2^2-0.26~X_3^2$ ,该数学模型<0.000~1,具有极显著差异。方差分析结果见表 6,其中  $R^2=0.987~5$ , $R_{adj}^2=0.971~4$ ,失拟项 P=0.067~6>0.05,不具有统计学意义。所以建立的 OD 值数学模型可信度较高,可用于 Lut-PC-MSNs 处方工艺研究。OD

表 5 试验结果 (n=3) Table 5 Experiments results (n=3)

序号	$X_1$	$X_2/(\text{mg}\cdot\text{mL}^{-1})$	<i>X</i> <sub>3</sub> /h	<i>Y</i> <sub>1</sub> /%	Y <sub>2</sub> /%	Y <sub>3</sub> /nm	OD 值
1	1.5:1.0	1.0	8	84.44	8.31	164.95	0.904
2	1.0:1.0	1.0	10	70.25	8.66	177.94	0.374
3	1.0:1.0	1.0	6	69.50	8.97	180.56	0.284
4	1.5:1.0	0.5	10	69.41	7.19	164.98	0.219
5	1.5:1.0	1.0	8	82.62	8.15	166.04	0.840
6	1.5:1.0	1.0	8	84.17	8.43	167.52	0.898
7	2.0:1.0	0.5	8	75.41	6.58	189.76	0.326
8	1.5:1.0	0.5	6	73.63	7.29	193.44	0.372
9	1.0:1.0	0.5	8	68.96	8.52	175.43	0.000
10	2.0:1.0	1.5	8	80.72	6.69	214.68	0.000
11	1.5:1.0	1.5	10	76.43	7.58	190.47	0.489
12	1.0:1.0	1.5	8	73.18	9.04	184.61	0.545
13	2.0:1.0	1.0	10	76.24	6.29	186.45	0.265
14	2.0:1.0	1.0	6	74.25	6.08	180.99	0.000
15	1.5:1.0	1.0	8	83.62	8.27	171.66	0.841
16	1.5:1.0	1.5	6	71.81	7.02	190.43	0.303
17	1.5:1.0	1.0	8	84.75	8.36	168.62	0.894

表 6 方差分析 Table 6 Analysis of variance

项目	平方和	自由度	均方	<b>F</b> 值	P值
模型	1.67	9	0.19	61.33	< 0.000 1
$X_1$	0.05	1	0.05	15.53	0.005 6
$X_2$	0.02	1	0.02	7.30	0.030 6
$X_3$	0.02	1	0.02	6.19	0.041 7
$X_1X_2$	0.19	1	0.19	62.67	< 0.000 1
$X_1X_3$	$7.58 \times 10^{-3}$	1	$7.58 \times 10^{-3}$	2.51	0.157 3
$X_2X_3$	0.03	1	0.03	9.51	0.017 7
$X_1^2$	0.63	1	0.63	207.83	< 0.000 1
$X_2^2$	0.31	1	0.31	102.57	< 0.000 1
$X_3^2$	0.28	1	0.28	92.79	< 0.000 1
残差	0.02	7	$3.02 \times 10^{-3}$		
失拟项	0.02	3	$5.67 \times 10^{-3}$	5.44	0.067 6
绝对误差	$4.16 \times 10^{-3}$	4	$1.04 \times 10^{-3}$		
总和	1.69	16			

拟合方程的 $X_1$ 、 $X_1X_2$ 、 $X_1^2$ 、 $X_2^2$ 和 $X_3^2$ 均具有极显著 差异(P<0.01), $X_2$ 、 $X_3$ 、 $X_2X_3$ 有显著差异(P<0.05)。 **2.5.3** 效应面结果与最佳制备工艺参数预测  $X_1$ 、  $X_1$ 、 $X_3$ 各个不同因素与 OD 值的交互作用的响应面 见图 1。设置 OD 值范围为 0~1,并以望大值为优 化目标,得到 Lut-PC-MSNs 最佳处方工艺条件为: MSNs 粉末与 Lut-PC 用量比为 1.43:1.0, 木犀草 素质量浓度为 1.08 mg/mL, 搅拌时间为 8.22 h。预 测 Lut-PC-MSNs 的 OD 值为 0.963。为了便于实际操作,将 MSNs 粉末与 Lut-PC 用量比调整为 1.45:

1.0, 木犀草素质量浓度设定为 1.1 mg/mL, 搅拌时间为 8.25 h。

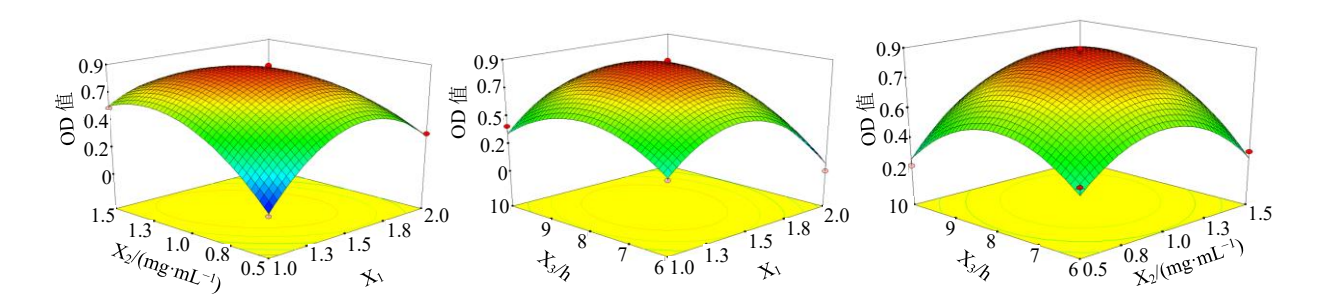


图 1 不同因素对 OD 值的效应面

Fig. 1 Response surface of different factor on OD value

#### 2.6 处方工艺验证

按最佳处方工艺制备 3 批 Lut-PC-MSNs 样品,加入蒸馏水,得到 Lut-PC-MSNs 混悬液,进行测定,结果平均包封率、载药量和粒径分别为 (85.91±1.18)%、(8.82±0.21)%、(160.69±6.80)nm,计算得实际 OD 值为 0.958。OD 值的相对偏差=(实际值一预测值)/预测值,计算得 OD 值相对偏差为

-0.52%, 绝对值小于 1%, 表明建立的 OD 数学模型预测性良好。

#### 2.7 样品表征

**2.7.1** 外观、粒径分布和 Zeta 电位 Lut-PC-MSNs 粉末分散于纯化水后即可形成外观均一的混悬液,测得 PDI 值为 (0.098±0.09), Zeta 电位为 (1.09±0.11) mV, 见图 2。

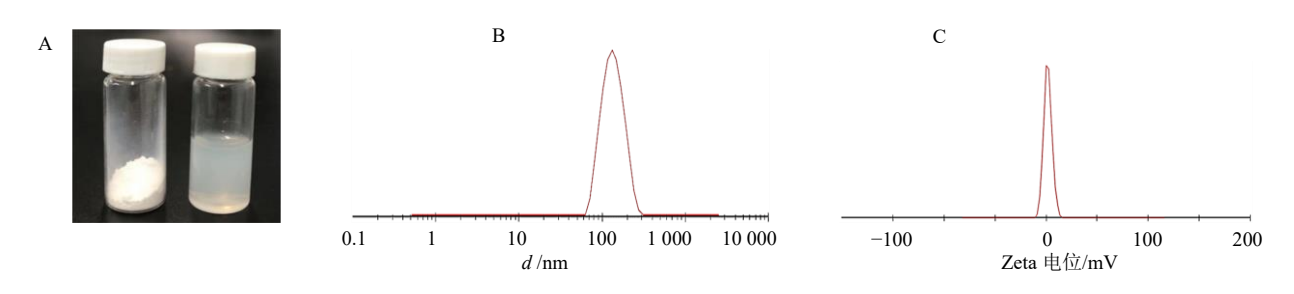
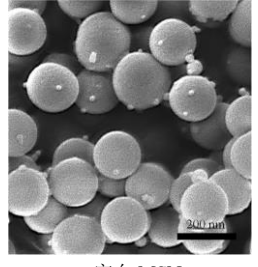
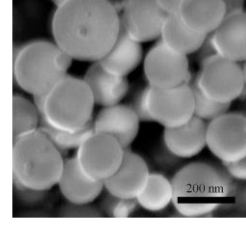


图 2 Lut-PC-MSNs 粉末、混悬液样品外观(A)、粒径分布图(B)和 Zeta 电位图(C) Fig. 2 Appearance (A), particle distribution image (B), Zeta potential image (C) of Lut-PC-MSNs samples

2.7.2 扫描电镜 取铜胶带黏贴至 T型台上,无水 乙醇冲洗 3 遍,晾干,滴加 Lut-PC-MSNs 混悬液,铺展后于室温晾干,喷金 1 min。置于扫描电镜下,放大 50 000 倍观察 Lut-PC-MSNs 微观外貌,拍照。同法测定空白 MSNs 微观外貌,结果见图 3。空白 MSNs 和 Lut-PC-MSNs 基本形貌均为球形,其中空白 MSNs 可观察到表面的介孔结构,且边界清晰,Lut-PC-MSNs 表面无介孔结构,这是由于 Lut-PC 进入 MSNs 介孔结构所致,且边界模糊。

**2.7.3** 晶型分析 取木犀草素、MSNs 粉末、物理混合物(木犀草素、磷脂和 MSNs 比例同 Lut-PC-MSNs)、Lut-PC 和 Lut-PC-MSNs 各  $10 \, \text{mg}$ ,玻璃片压制平整后作 XRPD 扫描,扫描范围( $2\theta$ )为  $3^{\circ}$ ~





空白 MSNs

Lut-PC-MSNs

图 3 扫描电镜结果(×50 000) Fig. 3 SEM results(×50 000)

45°, Cu-Kα 靶。结果见图 4。木犀草素大多数特征 晶型峰在 3°~30°出现,在物理混合物 XRPD 图谱 中木犀草素特征晶型峰仍可观察到,且峰位未发生 现代药物与临床

变化,证明木犀草素在物理混合物中仍以结晶状态 存在。Lut-PC 未观察到木犀草素的晶型峰,表明木 犀草素可能以无定形状态存在于 Lut-PC[6]。将 Lut-PC 制备成 Lut-PC-MSNs 后仍未观察到木犀草素的 晶型峰, 表明木犀草素在 Lut-PC-MSNs 以无定型状 态存在。

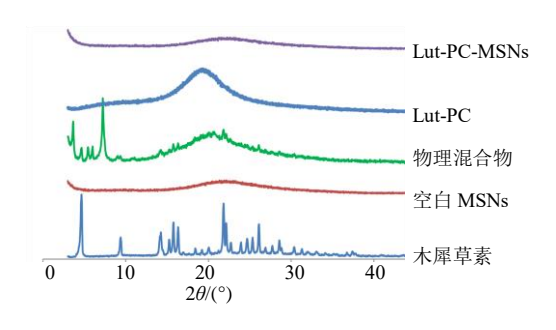


图 4 XRPD 结果 Fig. 4 XRPD results

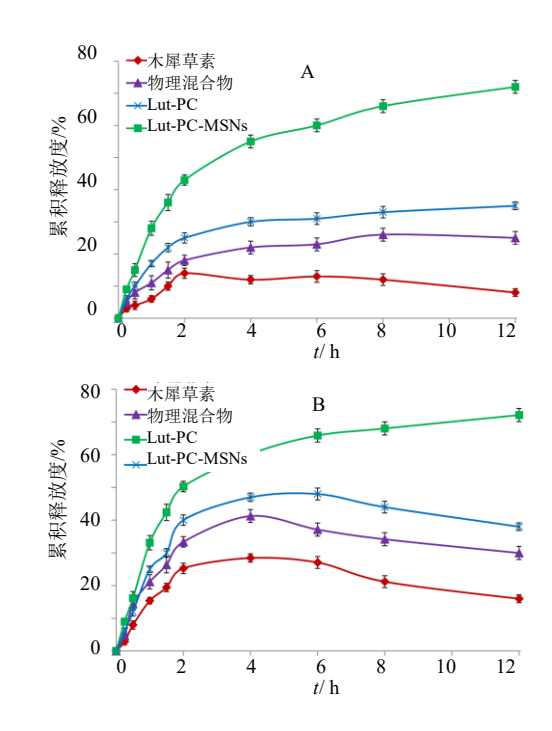
#### 2.8 释药行为和释药机制研究

取木犀草素原料药、物理混合物(木犀草素、 磷脂和 MSNs 粉末的混合物,比例同 Lut-PC-MSNs)、Lut-PC 和 Lut-PC-MSNs 粉末适量, 使木 犀草素均为 5 mg, 加入 5 mL 模拟胃液 (pH 2.0, 含胃蛋白酶),密封至透析袋中(截留相对分子质量 10 000)。溶出仪温度为 37 ℃,转速为 75 r/min, 释药介质为1000 mL模拟胃液,取样点设置为0.25、 0.5、1.0、1.5、2、4、6、8、12h, 取样体积为5mL, 取样后均补加 5 mL 空白介质。样品于 14 500 r/min 离心 30 min,取上清液采用 HPLC 法测定木犀草素 的质量浓度。同法测定各样品在模拟肠液(pH7.4, 含胰蛋白酶)中的释药行为,结果见图 5。木犀草 素在模拟胃、肠液中累积释放度先增加后下降,可

能与原料药在模拟胃、肠液中容易降解有关[6]。Lut-PC-MSNs 在模拟胃、肠液中的累积释放度分别增加 至 63.12%、71.74%, 提高幅度远大于物理混合物和 Lut-PC。Lut-PC-MSNs 的释药模型见表 7, 可见 Lut-PC-MSNs 在模拟胃肠液中的释药行为符合 Weibull 模型, 目 R<sup>2</sup> 均大于 0.95。

#### 2.9 稳定性研究

取 Lut-PC-MSNs 粉末置于药用塑料瓶中(50 mg/瓶),置于湿度 65%、温度 30 ℃恒温恒湿箱, 于 0、1、2、3、6 个月取样,加入蒸馏水复溶,测



各样品在模拟胃液 (A) 和模拟肠液 (B) 中的释药 曲线 (n=6)

Fig. 5 Drug release curves of different samples in simulate gastric fluids (A) and intestinal fluids (B) (n=6)

表 7 Lut-PC-MSNs 释放模型 Table 7 Fitting release model of Lut-PC-MSNs

介质	模型	拟合方程	$R^2$
模拟胃液	一级模型	$\ln(1 - M_t/M_\infty) = -0.074 \ 2 \ t - 0.287 \ 5$	0.843 2
	Higuchi 模型	$M_t/M_\infty = 0.176 \ 8 \ t^{1/2} + 0.105 \ 9$	0.905 5
	Weibull 模型	$\ln\ln[1/(1-M_b/M_\infty)] = 0.6175 \ln t - 1.2630$	0.957 1
模拟肠液	一级模型	$\ln(1 - M_t/M_{\infty}) = -0.095 \ 3 \ t - 0.333 \ 8$	0.831 9
	Higuchi 模型	$M_t/M_\infty = 0.2044 t^{1/2} + 0.1129$	0.877 9
	Weibull 模型	$\ln \ln[1/(1-M_V/M_\infty)] = 0.669 \ 5 \ \ln t - 1.129 \ 3$	0.955 4

 $M_t$  和  $M_\infty$ 分别为 t 和 $\infty$ 时的累积释放度, $M_t/M_\infty$ 为 t 时间累积释放率。

定 Lut-PC-MSNs 混悬液包封率、粒径、PDI 值和 Zeta 电位,结果见表 8。放置 6 个月后,Lut-PC-MSNs 的包封率仍大于 80%(《中国药典》规定微粒

制剂包封率不得低于 80%)。Lut-PC-MSNs 包封率、 粒径、PDI 值和 Zeta 电位在不同时间点的波动均无 显著变化,表明 Lut-PC-MSNs 粉末稳定性良好。

表 8 Lut-PC-MSNs 粉末稳定性考察(n=3) Table 8 Stability of Lut-PC-MSNs powder (n=3)

时间/个月	包封率/%	粒径/nm	PDI 值	Zeta 电位/mV
0	$86.03 \pm 1.19$	$163.56 \pm 7.11$	$0.106 \pm 0.06$	$0.98 \pm 0.11$
1	$85.79 \pm 0.96$	$166.04 \pm 6.58$	$0.098 \pm 0.09$	$1.12 \pm 0.13$
2	$85.54 \pm 1.22$	$163.94 \pm 7.02$	$0.104 \pm 0.010$	$1.25 \pm 0.12$
3	$84.97 \pm 1.17$	$168.42 \pm 7.34$	$0.109 \pm 0.011$	$1.09 \pm 0.09$
6	$84.06 \pm 1.30$	$166.80 \pm 6.95$	$0.103 \pm 0.008$	$1.17 \pm 0.14$

#### 2.10 药动学研究

2.10.1 实验方案 取木犀草素原料药、物理混合物和 Lut-PC-MSNs 粉末适量,使用 CMC-Na 水溶液 (质量浓度为 0.5%) 配制,使木犀草素质量浓度均为 5 mg/mL。取 18 只 SD 大鼠禁食过夜,随机分为 3 组。记录各只大鼠体质量,按 40 mg/kg(以木犀草素计)分别 ig 给药,于 0.5、1、1.5、2、2.5、3、4、6、8、10、12 h 于眼眶后静脉丛采血,血样引流至含 2 滴肝素钠 (质量浓度 1.0%) 离心管,涡旋 5 s 混匀,置离心机中 3 500 r/min 离心 3 min,取血浆冷冻保存。

2.10.2 血浆处理[7] 使用甲醇配制 4 000 ng/mL 黄芩素对照品溶液,作为内标。取 100  $\mu$ L 血浆样品置于空白离心管中,加入 100  $\mu$ L 高氯酸 – 甲醇(5:95)溶液和 25  $\mu$ L 内标溶液,涡旋 5 min。加醋酸乙酯 1.0 mL,涡旋 5 min,8 500 r/min 离心 5 min,取有机相置于 37  $\mathbb{C}$  氮吹仪上缓慢吹干,加 100  $\mu$ L 甲醇复溶,即得。

**2.10.3** 色谱条件 Waters C<sub>18</sub> 色谱柱(250 mm×4.6 mm, 5 μm), 流动相为 0.2%磷酸水溶液 - 甲醇(50:50), 检测波长为 350 nm, 柱温为 35℃, 体积流量为 1.0 mL/min。

**2.10.4** 标准曲线的绘制 使用空白血浆配制质量浓度为 2 500、2 000、1 000、500、100、50 ng/mL木犀草素血浆对照品溶液(含内标),测定木犀草素、黄芩素的峰面积。以两者峰面积比为纵坐标,木犀草素的质量浓度为横坐标,采用加权最小二乘法作线性回归,得方程 Y=0.001 2 X-0.054 1 (r=0.996 8)。

2.10.5 专属性试验 取空白血浆、血浆样品和血

浆对照品溶液进样测定,结果见图 6。木犀草素与 黄芩素色谱峰不受其他杂质干扰,专属性高。

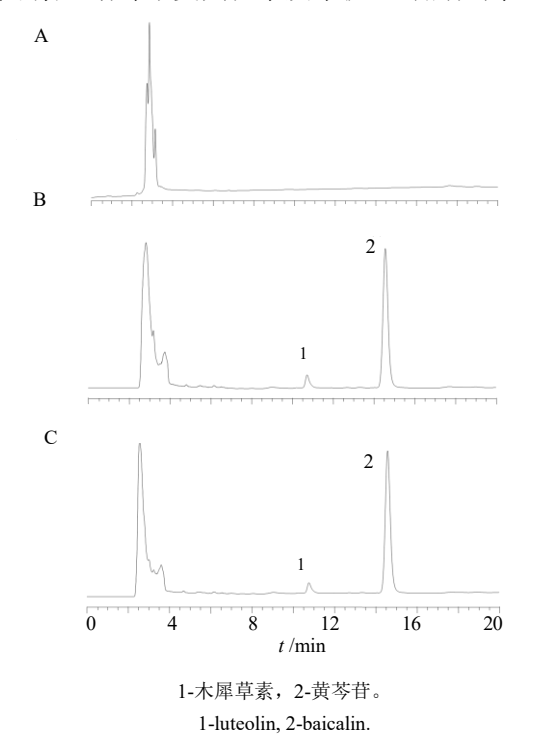


图 6 空白血浆 (A)、样品 (B) 和对照品 (C) HPLC 色 谱图

Fig. 6 HPLC chromatograms of blank plasma (A), plasma samples (B), and reference substance (C)

**2.10.6** 稳定性试验 取 Lut-PC-MSNs ig 2 h 血浆样品,于 0、3、6、9、12、18 h 测定木犀草素和黄芩素峰面积,计算得两者峰面积比值 RSD 值为 6.34%。血浆样品置于-20 ℃冰箱,分别于 0、3、6、9、12、15 d 取样,制备血浆样品溶液,进样测定木犀草素和黄芩素峰面积,计算得木犀草素质量

浓度的 RSD 值为 9.69%, 表明血浆样品在-20 ℃温 度下存放时稳定性良好。

2.10.7 精密度试验和准确度试验 配制了2500、 1000、50 ng/mL 质控样品,制备供试品溶液,分别 连续测定 6 次,根据随行标准曲线计算得木犀草素 质量浓度的 RSD 值分别为 3.47%、6.08%、6.42%; 取 2 500、1 000、50 ng/mL 质控样品溶液,连续测 定 6 d, 1 次/d, 根据随行标准曲线计算得木犀草素 质量浓度的 RSD 值分别为 5.28%、4.05%、4.39%。 准确度采用测得值与理论值接近程度表示,2500、 1000、50 ng/mL 质量浓度准确度分别为 107.96%、 94.58%、98.11%,符合《中国药典》2020年版四部 生物样品定量分析方法验证指导原则的技术要求。 **2.10.8** 提取回收率试验 取空白血浆,配制 2 500、 1000、50 ng/mL 质控样品(均含内标)6份,制备 质控样品溶液,进行测定,记录木犀草素、黄芩素 的峰面积(a)。取空白血浆,加入木犀草素对照品, 配制 2500、1000、50 ng/mL 对照品(均含内标), 分别进行测定,记录木犀草素和内标峰面积 (b)。 按照提取回收率=a/b 计算提取回收率[15]。结果显 示, 2 500、1 000、50 ng/mL 木犀草素和黄芩素的 提取回收率分别为 100.15%、104.74%、96.14%、 97.86%, RSD 值分别为 8.46%、5.92%、9.20%、 8.76%。

2.10.9 药动学结果 绘制各组样品的药-时曲 线,见图 7,使用 DAS 3.2 软件非房室模型计算各

组样品的药动学参数,见表 9。与木犀草素原料药 相比,物理混合物的  $t_{\text{max}}$ 、 $t_{1/2}$  和 MRT 无显著改变,  $C_{\text{max}}$ 、AUC<sub>0~t</sub>、AUC<sub>0~∞</sub>有显著增加(P<0.05),可 能与处方中磷脂、MSNs 粉末促吸收作用有关[6,13], 相对生物利用度增加至1.29倍。与木犀草素原料药 相比, Lut-PC 的 C<sub>max</sub>、AUC<sub>0∼t</sub>、AUC<sub>0∞</sub>有极显著 增加 (P<0.01), 相对生物利用度增加至 1.48 倍, 主要是由于 Lut-PC 改善了木犀草素的溶解度、脂 溶性和溶出度等[6]。Lut-PC-MSNs 药动学行为发生 很大变化,其中  $t_{\text{max}}$ 延后至 (2.04±0.83) h,  $t_{1/2}$ 延 长至 $(5.64\pm0.94)$ h,  $C_{\text{max}}$ 增加至 $(2087.93\pm466.35)$ ng/mL,口服吸收生物利用度提高至 5.24 倍,表明 Lut-PC-MSNs 极大地提高了木犀草素的生物利用 度,其促吸收作用远大于物理混合物。

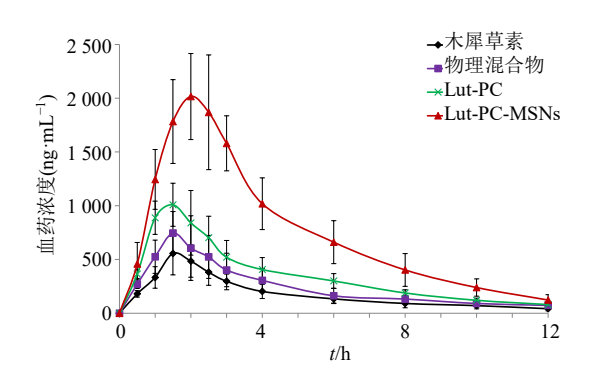


图 7 药-时曲线 (n=6) Fig. 7 Drug-time curves (n=6)

表 9 药动学参数 (n=6)

Table 9 Pharmacokinetic parameters (n=6)

参数	单位	木犀草素	物理混合物	Lut-PC	Lut-PC-MSNs
$t_{ m max}$	h	$1.51 \pm 0.33$	$1.62 \pm 0.42$	$1.48 \pm 0.34$	2.14±0.53*#
<i>t</i> <sub>1/2</sub>	h	$3.36 \pm 0.68$	$3.50 \pm 0.75$	$3.74 \pm 0.80$	$5.64 \pm 0.94^{*\#}$
MRT	h	$4.17 \pm 0.77$	$4.29 \pm 0.82$	$4.56 \pm 0.71$	$6.28 \pm 1.57^{*\#}$
$C_{ m max}$	$ng \cdot mL^{-1}$	$539.07 \pm 146.72$	$759.02 \pm 192.56^*$	$1\ 024.55\pm261.73^{**}$	$2087.93 \pm 466.35^{**##}$
$AUC_{0\sim t}$	$ng\!\cdot\! mL^{-1}\!\cdot\! h$	$1578.55 \pm 366.24$	$2\ 038.37\pm436.89^*$	$2342.40\pm601.39^{**}$	$8\ 269.80\pm 1\ 713.22^{**\#}$
AUC <sub>0</sub> ~∞	$ng\!\cdot\! mL^{-1}\!\cdot\! h$	$1606.46 \pm 408.57$	$2\ 111.98 \pm 469.74^*$	$2407.14\pm658.79^{**}$	8 404.34 ± 1 869.07**##

与木犀草素相比: \*P<0.05 \*\*P<0.01; 与物理混合物相比: \*P<0.05 ##P<0.01。

#### 3 讨论

固体脂质纳米粒、脂质体、纳米结构脂质载体 等脂质纳米制剂的主要缺陷是稳定性差、辅料种类 多、处方含大量表面活性剂、贮存条件要求苛刻等。 MSNs 是一种稳定性良好的无机纳米载体,制备过 程无需脂质载体和表面活性剂,储存过程中不易发 生氧化、降解、聚集等情况[13-14],稳定性很高,因 而 MSNs 比脂质纳米制剂更具有推广价值。很多研 究者在优化纳米制剂处方工艺时,仅以包封率作为 指标, 而忽略了载药量、粒径, 对纳米制剂的质量

<sup>\*</sup>P < 0.05 \*\*P < 0.01 vs luteolin; \*P < 0.05 \*\*P < 0.01 vs physical mixture.

控制不够全面。本研究在优化 Lut-PC-MSNs 处方工 艺时将包封率、载药量和粒径转化为总评归一值[6], 利于获得包封率、载药量和粒径均较理想的 Lut-PC-MSNs 处方工艺。木犀草素的热稳定较差,在 55 ℃ 条件下测得木犀草素在 4、6、8、10、12 h 降解率 分别为 0.09%、0.12%、0.14%、4.84%、9.73%,可 见制备时间大于 10 h 时严重影响木犀草素稳定性, 经 Box-Behnken 设计 - 效应面法优化后确定制备时 间为 8.25 h。

XRPD 结果证明木犀草素以无定形状态分散于 Lut-PC, 进一步制备成 Lut-PC-MSNs 粉末后木犀草 素仍以无定形状态存在,说明在 Lut-PC-MSNs 制备 过程中木犀草素以 Lut-PC 形式进入 MSNs 的纳米 孔道内部, 利于改善药物的溶解度、释放速率、释 放度[12]。木犀草素易受介质 pH 值、酶蛋白酶、胰 蛋白酶等因素影响[6],导致药物降解较严重,是导 致木犀草素生物利用度很低的原因之一。据报道, MSNs 会对消化酶产生吸附作用,进而形成蛋白冠, 利于抑制消化酶活性,提高药物在胃、肠液中的稳 定性[16],因而木犀草素在物理混合物中累积释放度 高于木犀草素原料药。Lut-PC-MSNs 进一步提高了 木犀草素的释放度,可能与药物溶解度提高、比表 面积增加、晶型改变等因素有关; 另外 Lut-PC 进入 MSNs 纳米孔道后,降低了模拟胃肠液消化酶的破 坏作用,因而对包载的药物起到了保护作用。Lut-PC-MSNs 在模拟胃、肠液中的释药行为具有一定的 缓释特点,可能会对木犀草素的体内药动学行为产 生一定影响[17]。

Lut-PC-MSNs 的 tmax 发生延后,可能是由于 Lut-PC-MSNs 的保护作用降低了药物降解几率,使 后期入血量增加,且 Lut-PC-MSNs 也具有一定的缓 释作用,从而导致  $t_{max}$  延后,同时也影响了  $t_{1/2}$ ,并 使之延长,利于药物充分吸收。Lut-PC-MSNs 的  $C_{max}$ 显著增大可能是由于木犀草素的溶解度、累积释放 度、体内稳定性等得到明显改善,增加了进入血液 循环的量[13-14]。Lut-PC-MSNs 生物利用度得到显著 提高,可能是由于 Lut-PC 解决了木犀草素溶解度、 脂溶性较差缺陷[6,18],将 Lut-PC 制备成 Lut-PC-MSNs 后解决了木犀草素释药速率、累积释放度较 低问题,从而解决了木犀草素的吸收瓶颈;纳米药 物与胃肠道接触更充分,利于增加吸收[19-20]; MSNs 可抑制消化酶活性[15],降低了木犀草素的降解几 率,增加了吸收量;木犀草素转变为无定型状态,

而无定型药物更易吸收[19,21]。因此本研究制备的 Lut-PC-MSNs 粒径小于 200 nm, 提高了在模拟胃肠 液中的累积释放度,加速条件下贮存6个月仍表现 出较高的稳定性,口服后可有效改善木犀草素口服 吸收,为评价其成药性提供参考数据。

## 利益冲突 所有作者均声明不存在利益冲突

#### 参考文献

**Drugs & Clinic** 

- [1] 胡泽香、佟雷、耿艳萌、等. 木犀草素的药理活性及其 制剂研究进展 [J]. 中医临床研究, 2022, 14(10): 141-145.
- [2] 张文, 姚晓燕, 周文慧, 等. 木犀草素防治急性肺损伤 的药理作用研究进展 [J]. 现代药物与临床, 2024, 39(9): 2448-2452.
- [3] 陈娟, 邓敏, 周焕, 等. 木犀草素抑制 PKM2 继而促进 自噬诱导肝癌细胞凋亡 [J]. 中国医院药学杂志, 2021, 41(11): 1103-1108.
- [4] 隋佳琪. 木犀草素通过 EGFR 信号通路发挥抗乳腺癌 作用的机制及其与 ERα/IGF-1R 的关系 [D]. 大连: 辽 宁师范大学, 2016.
- [5] 王兰. 木犀草素/SBE-β-CD 包合物的制备和生物利用 度研究 [D]. 重庆: 重庆医科大学, 2016.
- [6] 田莉, 李伟宏, 张付利. 木犀草素磷脂复合物白蛋白纳 米粒的制备及口服药动学评价 [J]. 中草药, 2024, 55(10): 3280-3290.
- [7] 涂亮星,杨如月,刘佳丽,等.不同剂量木犀草素在大 鼠体内药动学的比较 [J]. 中成药, 2022, 44(12): 3753-3757.
- [8] 胡泽香,佟雷,耿艳萌,等.木犀草素纳米乳对 DPPH·自由基的清除活性研究 [J]. 安徽科技学院学 报, 2021, 35(6): 73-76.
- [9] 杨 娟,尚曙玉,贾安,等.木犀草素固体脂质纳米粒 的制备及其体内药动学研究 [J]. 中成药, 2021, 43(9): 2281-2286.
- [10] 毛艳婷, 马姝丽, 白朝辉, 等. 木犀草素纳米结构脂质 载体及其冻干粉的制备和体外释药研究 [J]. 中国医 院药学杂志, 2020, 40(23): 2423-2429.
- [11] 周周. 木犀草素固体分散体系的制备及其胰岛素抵抗 作用的研究 [D]. 合肥: 合肥工业大小, 2022.
- [12] 廉唱唱, 周梅, 彭成军, 等. 磷脂种类对吲哚菁绿脂质 体制剂学性质的影响 [J]. 药物评价研究, 2023, 46(3): 524-530.
- [13] 杨丽萍, 王海军, 李伟宏, 等. 载芒果苷的氨基修饰介 孔二氧化硅纳米粒的制备及口服药动学评价 [J]. 中 草药, 2024, 55(8): 2542-2552.
- [14] 李伟宏,郑伟,王风云,等. 金丝桃苷磷脂复合物及其 介孔二氧化硅纳米粒的制备和口服药动学研究 [J]. 中草药, 2023, 54(13): 4157-4167.

- [15] 彭于之,姜良竹,徐传锡,等. β-环糊精-聚乙二醇-7-乙基-10-羟基喜树碱胶束在大鼠体内的药动学研究 [J]. 现代药物与临床, 2024, 39(4): 894-898.
- [16] 邢畅. 二氧化硅纳米粒消化酶蛋白冠的形成及影响因素 [J]. 现代化工, 2017, 37(4): 71-74.
- [17] 储晓婷,周 梅,汪康,等.不同粒径聚乙二醇化维生素 K1 脂质体的制备及体内外评价 [J]. 药物评价研究, 2022, 45(7): 1323-1331.
- [18] 张伟利,李晓婷,决利利,等. 柠檬苦素磷脂复合物制备及其体内药动学研究 [J]. 中成药,2023,45(4):1051-

1057.

- [19] 张韬, 李玉囡, 钱占寅, 等. 基于藻酸双酯钠的阿霉素/塞来昔布纳米药物晶体的制备及其抗肿瘤作用研究 [J]. 现代药物与临床, 2022, 37(11): 2475-2481.
- [20] 张文凯,李戟玭,孙亦华,等.治疗炎症性肠病的纳米颗粒研究进展 [J]. 现代药物与临床,2022,37(8):1892-1897
- [21] 杨璞, 李晓, 宋亚琼, 等. 二氢杨梅素混合胶束的制备、表征及药动学研究 [J]. 药物评价研究, 2024, 47(10): 2351-2360.

[责任编辑 解学星]